

مدل‌سازی یک بعدی فرایند نفت‌زاویی سنگ‌های منشأ در میدان پازنان

ارسان زینل زاده^{*}، مریم پژوهشگاه صنعت نفت*

چکیده

مدل‌سازی یک بعدی فرایند نفت‌زاویی از روش‌های مورد استفاده در بررسی سیستم‌های نفتی است. بدین منظور با استفاده از این روش سنگ‌های منشأ نفت‌های میدان پازنان مورد بررسی قرار گرفت و تاریخچه پختگی و هیدروکربن‌زاویی سنگ‌های منشأ آن بدست آمد.

مدل‌سازی فرایند نفت‌زاویی میدان پازنان در تاقدیس و ناویدیس‌های جنوب و شمال برای سنگ‌های منشأ پابده، کژدمی، گرو و سرگلو انجام شده است. بر اساس بررسی‌های انجام شده مشخص گردید که وضعیت نفت‌زاویی سنگ‌های منشأ در چاه‌های نفت حفر شده در مقایسه با وضعیت آنها در ناویدیس‌های مجاور تفاوت چشمگیری دارند. این تفاوت به گونه‌ای است که برای مثال سازند پابده در تاقدیس پازنان به نفت‌زاویی نرسیده است در حالیکه در ناویدیس شمالی، این میدان در پیک فرایند نفت‌زاویی قرار دارد.

تاریخچه هیدروکربن‌زاویی سنگ‌های منشأ بدست آمده در این مطالعه نشان می‌دهد که میزان هیدروکربن تولیدی سنگ منشأ پابده و کژدمی در ناویدیس‌ها بسیار بیشتر از تاقدیس‌ها است. همچنین سازندهای گرو و سرگلو بیش از سنگ‌های منشأ پابده و کژدمی نفت‌زاویی کرده‌اند.

واژه‌های کلیدی: مدل‌سازی حوضه، سیستم نفتی، میدان پازنان، سنگ‌های منشأ

مقدمه

سیستم نفتی و فرایندهای مرتبط، در طول زمان زمین شناسی رخ می‌دهند. بررسی و شناخت آنها نیازمند بازسازی روند تشکیل لایه‌ها در تاریخچه زمین‌شناسی و شبیه‌سازی فرایندهایی است که در طی تشکیل، مهاجرت و تجمع هیدروکربن رخ داده‌اند. جهت این کار تاریخچه تدفین و تاریخچه حرارتی لایه‌ها بازسازی می‌شود و با استفاده از روش‌های محاسباتی کیفیت و کمیت فرایندهای رخ داده در سیستم نفتی بدست می‌آید. در این مطالعه مدل‌سازی فرایند نفت‌زاوی جهت بررسی هیدروکربن‌زاوی از سنگ‌های منشأ در میدان پازنان مورد استفاده قرار گرفته که یکی از میدانین بزرگ فروافتادگی دزفول است. ذخایر هیدروکربنی این میدان از نفت و گاز تشکیل شده و ستون گازی این میدان بیشتر از ستون نفتی است. در حالیکه، دیگر میدانین فروافتادگی دزفول عمده‌تاً دارای ذخیره نفتی بیشتر از گاز هستند. در این بررسی، سنگ‌های منشأ پابده، کژدمی، گرو و سرگلو مورد مدل‌سازی فرایند نفت‌زاوی قرار گرفته و تاریخچه هیدروکربن‌زاوی این سنگ‌های منشأ به دست آمده است.

زمین‌شناسی منطقه

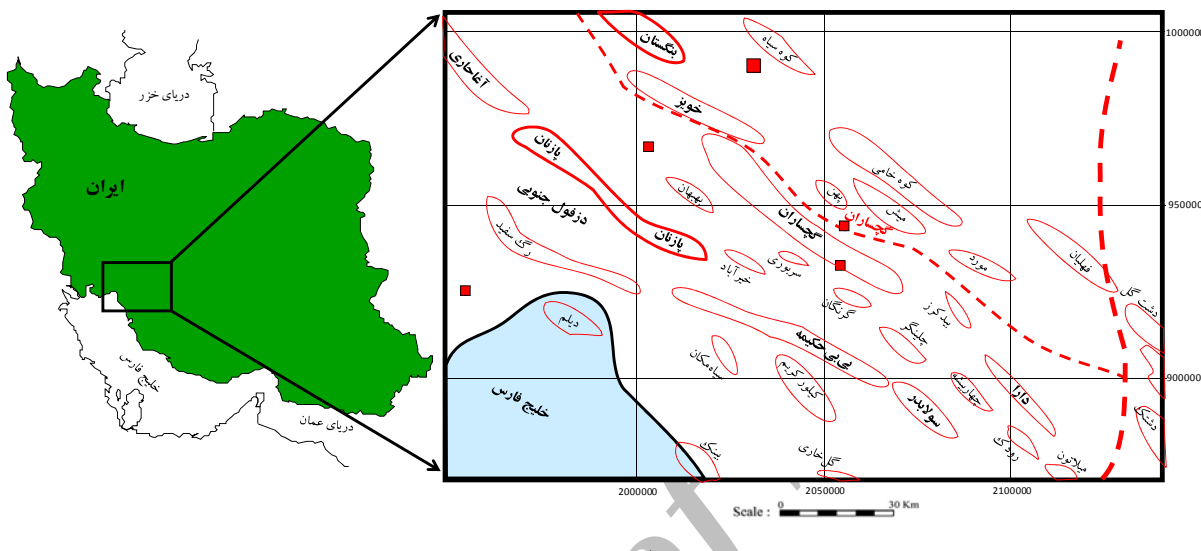
میدان پازنان و بیشتر میدانین نفتی زاگرس در فروافتادگی دزفول واقع شده‌اند. این ناحیه در شمال غرب به کوه‌های لرستان، در جنوب شرق به ناحیه فارس و در شمال شرق به جبهه کوهستانی خوزستان محدود می‌شود. میدان پازنان در امتداد میدان نفتی آغاجاری و در جنوب شهرستان بهبهان قرار گرفته است (شکل ۱). طول این میدان در سطح آسماری حدوداً ۶۰ کیلومتر و عرض آن بین ۴ تا ۶ کیلومتر متغیر است. مخزن تماماً آهکی آسماری پازنان در سال ۱۳۱۶ با حفر چاه شماره ۲ کشف گردید که حاوی نفت با ۳۶ درجه API و مقدار سولفور ۸٪ درصد می‌باشد (مطیعی ۱۳۷۴). مخزن خامی این میدان حاوی گاز می‌باشد و شامل سازندهای داریان، ممبر خلیج گدوان و سازند فهیان است.

سنگ منشأ یکی از عناصر تشکیل دهنده سیستم نفتی است و فرایندهای نفت‌زاوی و مهاجرت هیدروکربن از سنگ منشأ، پدیده‌های مهمی هستند که در یک سیستم نفت‌زاوی رخ می‌دهند. مطالعه و بررسی فرایند نفت‌زاوی از سنگ‌های منشأ در جهت روشن شدن کیفیت و کمیت نفت‌زاوی در سیستم نفتی است. مدل‌سازی فرایند نفت‌زاوی یکی از روش‌های مورد استفاده در تحقیق و پژوهش در زمینه سیستم نفتی است. مزیت‌های این روش مطالعه از جمله هزینه مطالعاتی کمتر، دقت نتایج، به روز بودن مباحث مربوطه و استفاده از نرم افزارهای پیشرفته در این زمینه موجب استفاده گسترده محققین از این روش در مطالعات مختلف شده است. از جمله مقالات منتشر شده در این زمینه می‌توان به موارد مختلفی همچون: Bordenave 2008، (and Hegre 2010; Rudkiewicz et al. 2007 کرد.

پنج سیستم نفتی در مناطق نفت‌خیز زاگرس تعریف شده که شامل: سیستم نفتی پالئوزوئیک با سنگ منشأ سرچاهان، سیستم نفتی ژوراسیک میانی با سنگ منشأ سرگلو، سیستم نفتی هنیفه-توبیق مونتین با سنگ منشأ مونتین-دیاب، سیستم نفتی ابتدایی کرتاسه با سنگ منشأ قسمت پایینی گرو و سیستم نفتی کرتاسه میانی تا میوسن پیشین که دارای دو سنگ منشأ کژدمی و پابده است. سیستم نفتی کرتاسه میانی مؤثرترین سیستم نفتی در مناطق نفت‌خیز زاگرس است (Bordenave and Hegre 2010). سیستم نفتی کرتاسه میانی تا میوسن پیشین و همچنین یستم نفتی ابتدایی کرتاسه در میدان پازنان فعال هستند. گسترش سیستم نفتی کرتاسه میانی تا میوسن پیشین تا حد زیادی پراکندگی میدان‌های نفتی را کنترل کرده است. این تاثیر به قدری است که حضور سیستم‌های نفتی دیگر به خصوص در فروافتادگی دزفول گاهی حاشیه‌ای در نظر گرفته شده است.

آسماری میدان پازنان حدود ۱/۷ برابر ستون نفتی است (Ashkan and Amiri Bakhtiar 2010).

ضخامت ستون گازی مخزن آسماری پازنان به ۶۰۰ متر می‌رسد (مطیعی ۱۳۷۴). ضخامت ستون گازی در مخزن



شکل ۱- موقعیت میدان پازنان و میدان‌های اطراف آن (فکوری ۱۳۸۳)

عبارتی دیگر ظرفیت مخزن پرشده، نفت به سمت اطراف (روند گرنگان- چلینگر یا میدان گچساران) رانده شده است (Bordenave and Hegre 2010) با هدف مطالعه اشکان و امیری بختیار (۲۰۱۰) مشخص کردن سنگ‌های منشأ نفت و گاز مخزن آسماری و ارتباط ژئوشیمیابی بین گاز مخزن آسماری و خامی انجام شده است. در این مطالعه، وجود بایومارکر اولتتان و دیاستران در نفت مخزن آسماری، به ترتیب نشانه‌ای از نفت‌زایی سازنده‌های پایده و کژدمی دانسته شده است و میزان کل کربن آلی^۲ و شاخص هیدروژن سنگ‌های منشأ بدست آمده است (جدول ۱). در لایه‌های بنگستان هیدروکربنی دیده نشده و سنگ منشأ گاز در گروه خامی و مخزن آسماری، سازنده گرو معرفی شده (Ashkan and Amiri Bakhtiar 2010)

در میدان پازنان وجود سیستم نفتی کرتاسه میانی تا میوسن در مطالعات مختلف از جمله Bordenave and Hegre، Amiri Bakhtiar 2010، Bordenave 2008، Ala et al. 1980، 2010، Bordenave 2008، گزارش شده، اما ذخیره میدان پازنان با فرض تغذیه شدن از دو سنگ منشأ پایده و کژدمی همخوانی ندارد و حجم زیاد گاز در این میدان نمی‌تواند از سنگ منشأ کژدمی حاصل شده باشد. گاز پازنان احتمالاً منشأ عمیق‌تری دارد که می‌تواند سازند گرو، سرگلو و حتی سنگ منشأ سیلورین باشد (Bordenave and Hegre 2010). سرسازند آسماری میدان پازنان پایین‌تر از سرسازند آسماری در میدان آغازگاری است. در حالیکه این دو میدان دارای سطح مشابه آب و نفت هستند. ورود گاز به مخزن آسماری میدان پازنان موجب پایین راندن نفت شده و هنگامی که نفت به نقطه ریزش^۱ رسیده یا به

^۲- Total organic carbon(TOC)

^۱- Spill point

فاکتور اصلی دما و زمان زمین‌شناسی نقش اصلی را دارند(Barker 1996). دما، مهم‌ترین فاکتور تاثیرگذار بر زایش نفت از سنگ منشأ می‌باشد. به گونه‌ای که در دمای بالای ۱۳۰ درجه سانتیگراد، مواد آلی خیلی سریع به نفت‌زایی می‌رسند. به ازاء هر ۱۰ درجه سانتیگراد افزایش دما، نرخ واکنش نفت‌زایی، حدوداً دو برابر افزایش می‌یابد(Hantschel and Kauerauf 2009).

در مدل‌سازی تاریخچه تدفین و تاریخچه حرارتی، از داده‌های زمین‌شناسی و ژئوشیمیایی در نرم افزار مدل‌سازی Genex استفاده شده است. این داده‌ها شامل سن زمین‌شناسی سازندها(Koop and Orbell 1977)، سنگ‌شناسی(Sajadi 1976)، گرادیان حرارتی و دمای لایه‌ها(Orbell 1977) و عمق پی‌سنگ (Koop 1977) داده‌های ژئوشیمی (Ashkan and Amiri Bakhtiar 2010) است.

در این مطالعه جهت بازسازی فرایند نفت‌زایی در میدان پازنان، از داده‌های چاههای حفاری شده جهت مدل‌سازی در قسمت بالای تاقدیس استفاده شده و به عنوان چاه پازنان در مقاله از آن نام برده شده است. از مقطع زمین‌شناسی در نقشه زمین‌شناسی بندر دیلم برای بازسازی تاریخچه حرارتی در ناویدیس شمالی و ناویدیس جنوبی استفاده شده (Studehnia and Perry 1966) این مقطع زمین‌شناسی با استفاده از شواهد زمین‌شناسی و داده‌های لرزه‌ای ترسیم شده است. چاه فرضی پازنان شمالی و چاه فرضی پازنان جنوبی به ترتیب در ناویدیس شمالی و ناویدیس جنوبی واقع شده‌اند(شکل ۲).

جدول ۱- مقدار کل کربن آلی و شاخص هیدروژن سنگ‌های منشأ در میدان پازنان (Ashkan and

.(Amiri Bakhtiar 2010)

| شاخص هیدروژن | مقدار کل کربن آلی | سازنده |
|--------------|----------------------|--------|
| ۵۰۰-۴۰۰ | % ۱-۵ | پابده |
| ۴۰۰-۳۰۰ | % ۱-۳ | کژدمی |
| > ۲۰۰ | % ۰/۵-۱/۵ | گرو |

که نشان دهنده وجود سیستم نفتی ابتدایی کرتاسه در این میدان است.

ضخامت زون‌های غنی از ماده آلی و مقدار کل کربن آلی (جدول ۱) در این سازنده نشان دهنده احتمال مشارکت سنگ منشأ دیگری در تشکیل ذخیره گاز در مخزن خامی و آسماری است.

در میدان‌های اطراف پازنان در گروه خامی، ذخیره گازی گزارش شده مانند وجود گاز در سازنده فهیلان میدان گچساران و ذخیره گاز و معیانات گازی در سازنده فهیلان و ممبر خلیج سازنده گدوان در میدان بی‌بی‌حکیمه در حالیکه وجود رخساره‌های سازنده گرو در میدان گچساران و بی‌بی‌حکیمه گزارش نشده است (مطیعی ۱۳۷۴). همچنین در بخش آهکی خلیج سازنده گدوان در میدان آغازاری و در کوه بنگستان در گروه خامی گاز دیده شده است (Bordenave and Hegre 2010).

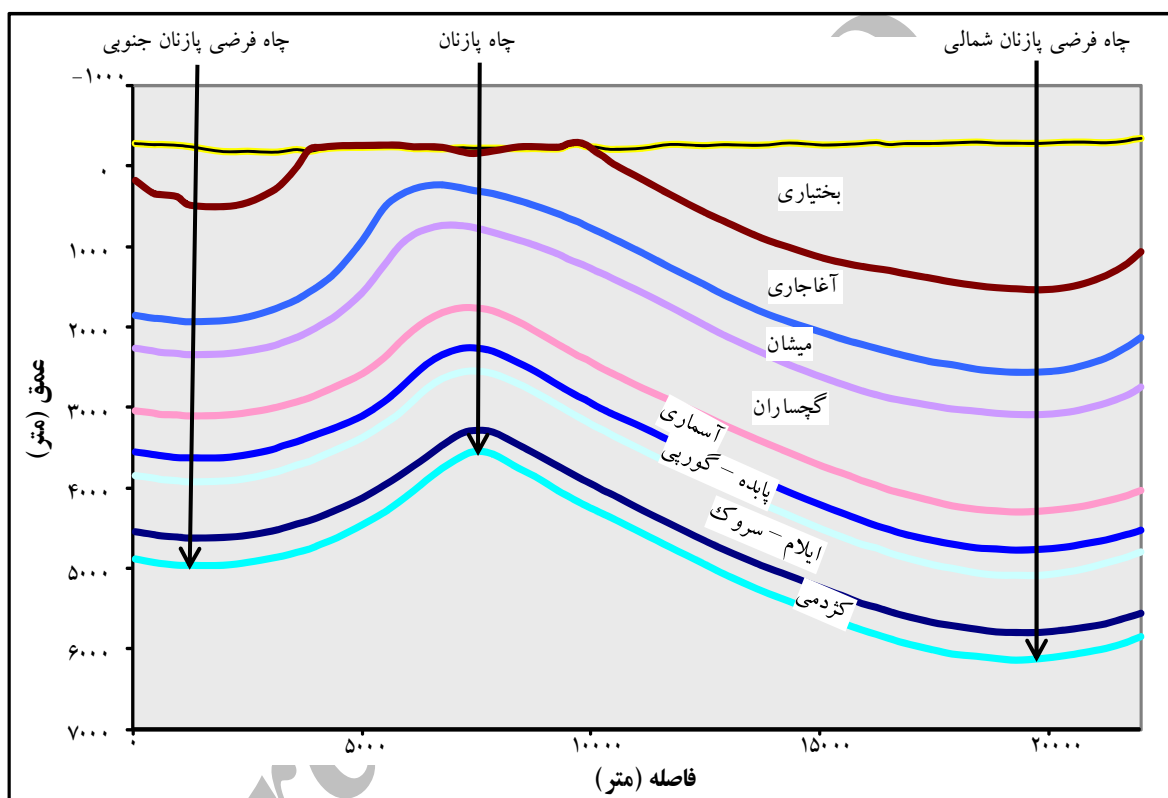
گسترش لایه‌های غنی از ماده آلی سازنده گرو عمدها در لرستان و دزفول شمالی است و تنها بخشی از میدان پازنان در محدوده گسترش این سنگ منشأ است(Bordenave and Hegre 2010).

روش مطالعه

در این مطالعه جهت بررسی فرایند نفت‌زایی سنگ‌های منشأ، با استفاده از روش مدل‌سازی حرارتی، تاریخچه تدفین و تاریخچه حرارتی سازنده (Barker 1996) در میدان پازنان، ناویدیس‌های شمال و جنوب این تاقدیس بازسازی شده است. در فرایند نفت‌زایی، دو

میدان پازنان است (حدود ۴۰ کیلومتری شمال غرب میدان پازنان - شکل ۱)، استفاده شده است. در چاه بنگستان-۱ سازند سرگلو حفاری و نمونه‌هایی از آن مورد آنالیز راک اول قرار گرفته است (Burwood 1978).

عمیق‌ترین سازند حفاری شده در میدان پازنان، سازند گرو است. جهت بازسازی فرایند نفت‌زایی از سنگ منشأ سرگلو که در اعماق بیشتری قرار دارد، داده‌های ضخامت سازندها ضروری است. جهت این کار از داده‌های چاه بنگستان-۱ که نزدیک‌ترین محل به



شکل ۲- مقطع زمین شناسی و موقعیت چاه‌های حقیقی و فرضی که مدل‌سازی فرایند نفت‌زایی انجام شده است.

سازند همچنین وجود گاز در گروه خامی میدان گچساران و بی‌بی‌حکیمه و عدم وجود سازند گرو در این میدان‌ها، با ایده مشارکت سنگ منشأ دیگری در تولید گاز همخوانی دارد.

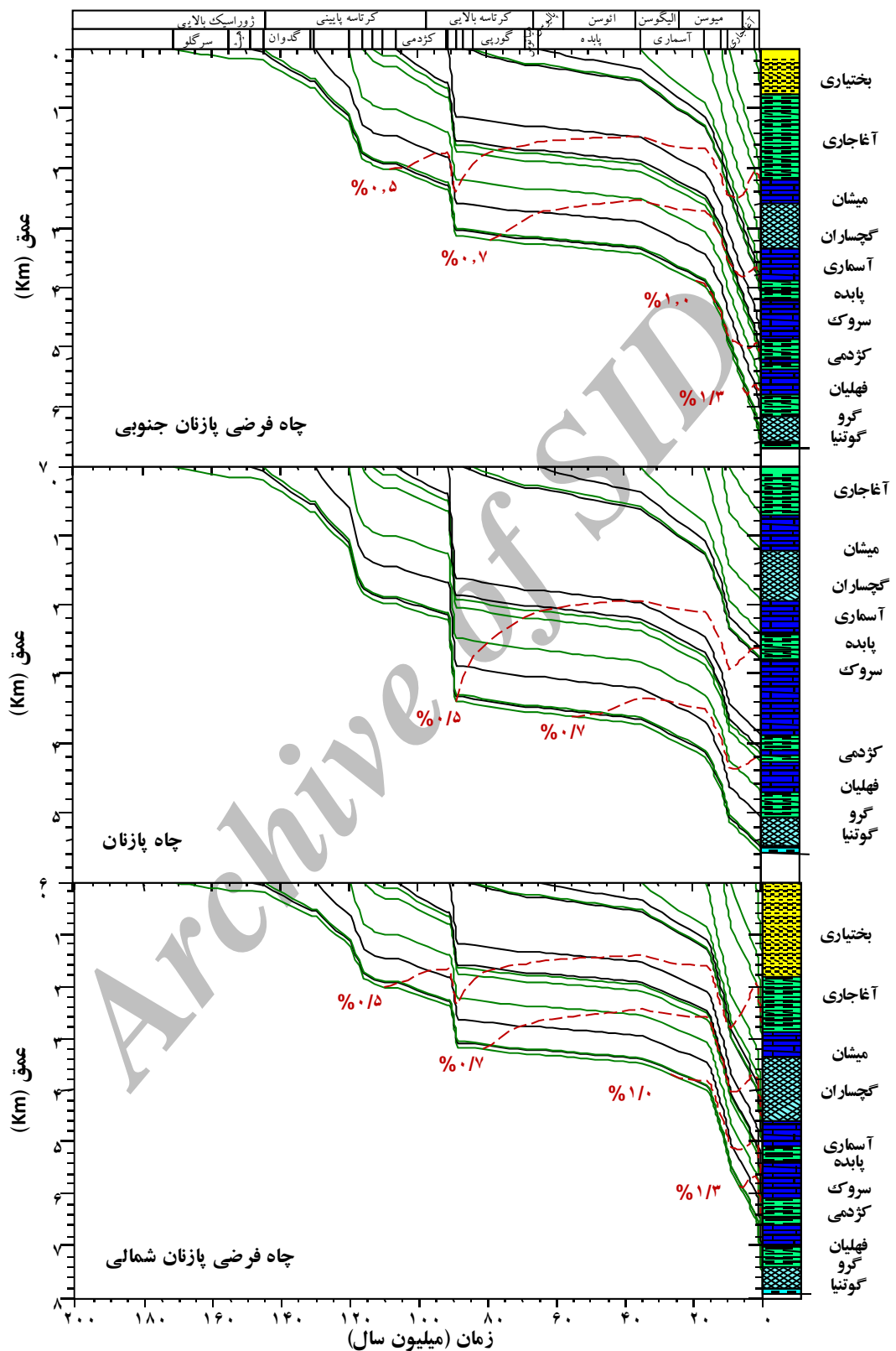
بحث

سازندهای کردیمی و پابده به عنوان سنگ منشأ نفت، در سازند آسماری میدان پازنان معرفی شده‌اند و سنگ منشأ مولد گاز، در سازند آسماری و گروه خامی سازند گرو معرفی شده اما میزان و مقدار کل کربن آلی این

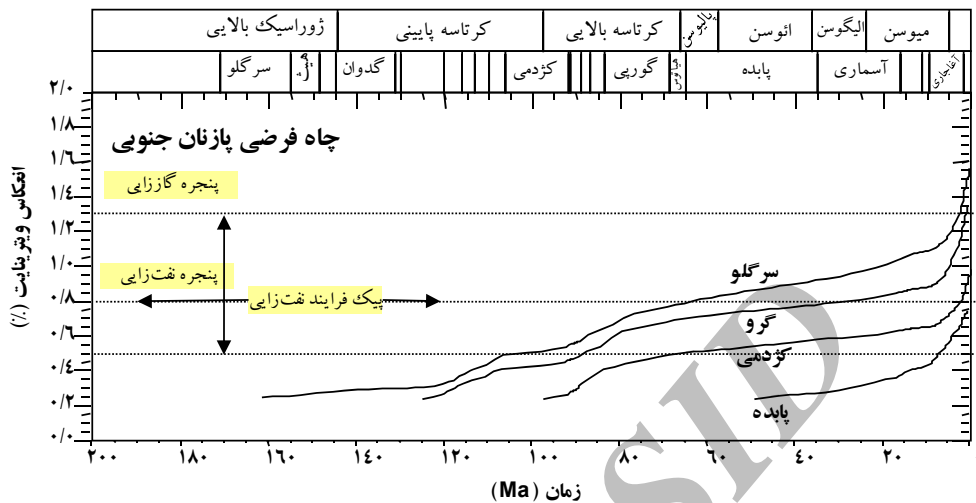
پیک فرایند نفت‌زایی را طی کرده و سنگ منشأ گرو و سرگلو به ترتیب با پختگی $1/3$ و $1/5$ درصد انعکاس ویترینایت وارد پنجره گاز‌زایی شده‌اند.

در چاه پازنان که بر روی تاقدیس واقع شده (شکل ۲)، پختگی مواد آلی سنگ‌های منشأ، کمتر از چاه فرضی پازنان جنوبی است (شکل ۵). براساس نمودار پختگی بدست آمده برای سنگ منشأ پابده این سازند به مرحله نفت‌زایی نرسیده (پختگی $0/4$ تا $0/5$ درصد انعکاس ویترینایت) و سنگ منشأ کژدمی در ابتدای پنجره نفت‌زایی (پختگی $0/65$ انعکاس ویترینایت) واقع شده است. سازند گرو با پختگی بیشتری نسبت به سازند کژدمی (پختگی $0/8$ درصد انعکاس ویترینایت) در پیک فرایند نفت‌زایی واقع شده و سازند سرگلو پیک فرایند نفت‌زایی (پختگی $0/92$ درصد انعکاس ویترینایت) را طی کرده است. مقایسه میزان پختگی سنگ‌های منشأ این چاه با چاه پازنان جنوبی نشان دهنده تفاوت قابل توجهی در میزان پختگی سنگ‌های منشأ در بالای تاقدیس در مقایسه با دو ناویدیس مجاور وجود دارد و تنها وضعیت سنگ منشأ در بالای تاقدیس ویژگی‌های یک سنگ منشأ در یک میدان را نشان نمی‌دهد.

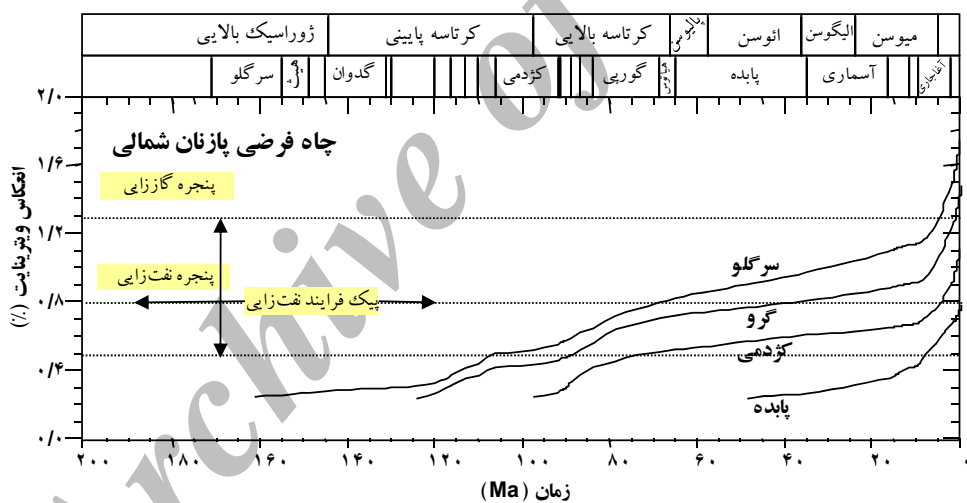
نتایج بدست آمده در این مطالعه از چاه فرضی پازنان جنوبی، چاه پازنان و چاه فرضی پازنان شمالی است (شکل ۲) که وضعیت فرایند نفت‌زایی را در تاقدیس پازنان و ناویدیس‌های اطراف این میدان نشان می‌دهد. نمودارهای فرایند نفت‌زایی برای سنگ‌های منشأ پابده، کژدمی، گرو و سرگلو با استفاده از روش مدل‌سازی بدست آمده است. نمودارهای تاریخچه تدفین بدست آمده (شکل ۳) روند نهشته شدن سازندهای در چاههای مورد مطالعه نشان می‌دهد. در این نمودارها خطوط هم پخت بر اساس انعکاس ویترینایت ترسیم شده که تغیرات میزان پختگی سازندهای را با افزایش عمق تدفین نشان می‌دهد. نمودارهای میزان پختگی سازندهای در چاه پازنان جنوبی بر حسب درصد انعکاس ویترینایت در طول زمان زمین‌شناسی در شکل ۴ نشان داده شده است همانگونه که این نمودارها نشان می‌دهند، افزایش میزان پختگی سنگ‌های منشأ در طول زمان زمین‌شناسی تا زمان میوسن روند آرامی را طی کرده، از زمان میوسن تا زمان حال روند پختگی سنگ‌های منشأ با افزایش نرخ همراه بوده است که حاصل نرخ‌های بالای نهشته شدن سازندهای گچساران، آغازاری و میشان است (زینل‌زاده و همکاران ۱۳۸۳). در چاه پازنان جنوبی سنگ منشأ پابده با پختگی $0/7$ درصد انعکاس ویترینایت در نزدیکی پیک نفت‌زایی قرار دارد و سنگ منشأ کژدمی با پختگی ۱ درصد انعکاس ویترینایت،



شکل ۳ - مقایسه نمودارهای تاریخچه تدفین چاه فرضی پازنان جنوبی، چاه پازنان و چاه فرضی پازنان شمالی



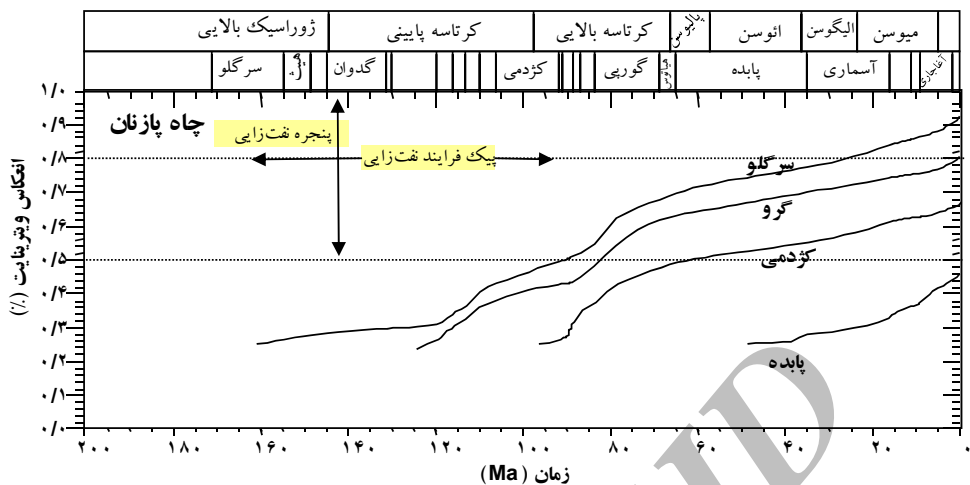
شکل ۴ - نمودار پختگی سنگ‌های منشأ در طول زمان زمین‌شناسی در چاه پازنان جنوبی



شکل ۵ - نمودار پختگی سنگ‌های منشأ در طول زمان زمین‌شناسی در چاه پازنان

انعکاس ویترینایت) واقع شده است. سازند گرو با پختگی $1/3$ و سازند سرگلو با $1/7$ درصد انعکاس ویترینایت در پنجره گاز زایی واقع شده‌اند. عمق بیشتر سازندها در این چاه عامل اصلی در بیشتر بودن میزان پختگی سازندها است.

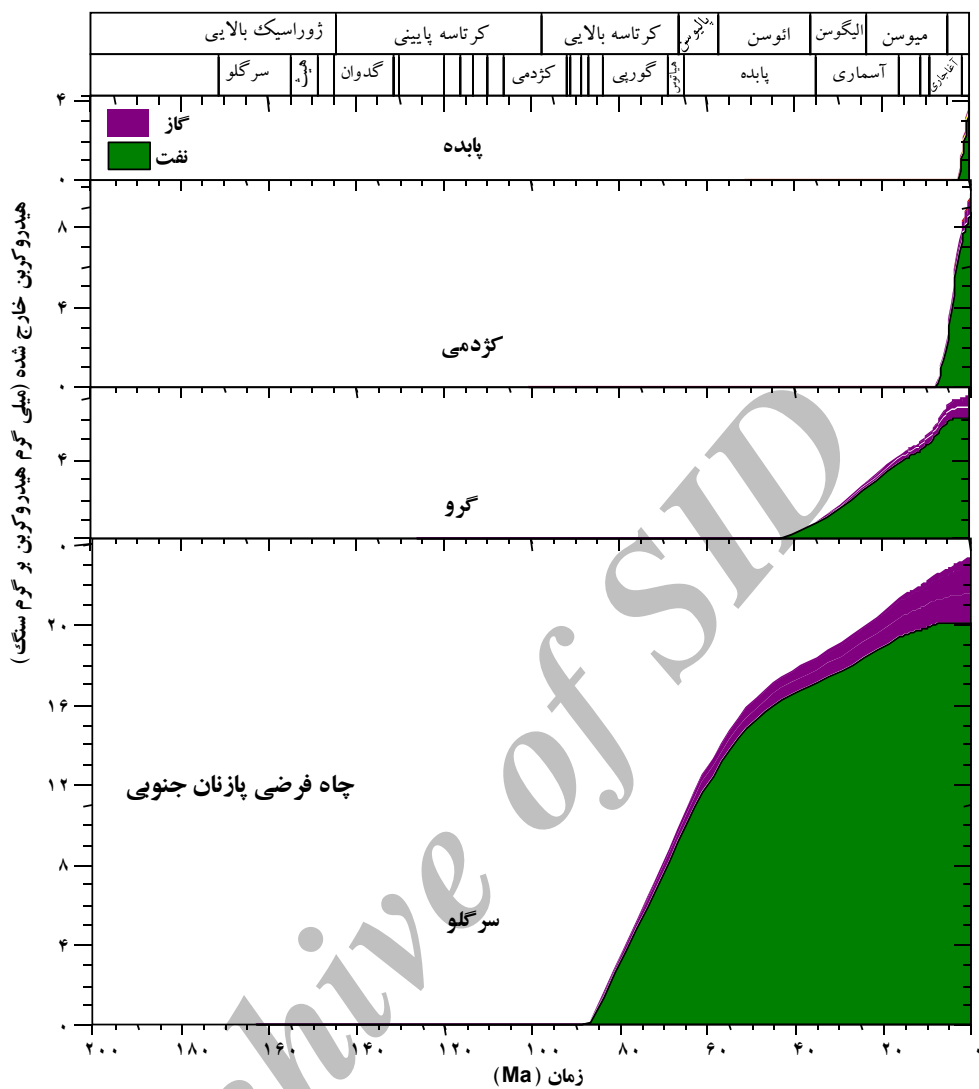
میزان پختگی مواد آلی سازندها در چاه پازنان شمالی بیشتر از دو چاه دیگر است (شکل ۶) به گونه‌ای که سازند پابده در نزدیکی پیک نفت زایی (پختگی 0.75 درصد انعکاس ویترینایت) قرار دارد و سازند کردمی در نزدیکی پنجره گاز زایی (پختگی 1 درصد



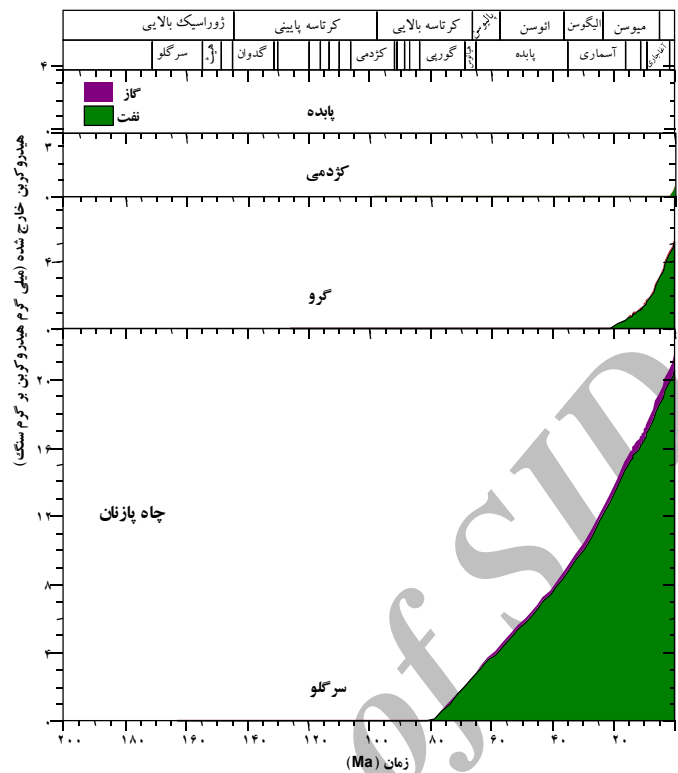
شکل ۶- نمودار پختگی سنگ‌های منشأ در طول زمان زمین‌شناسی در چاه پازنان شمالی

در شکل ۱۰ لایه‌های چاههای پازنان جنوبی، پازنان و پازنان شمالی همراه با میزان هیدروکربن‌زایی بر حسب میلی گرم هیدروکربن بر گرم سنگ منشأ، دیده می‌شود. بیشترین عمق تدفین لایه‌ها در چاه پازنان شمالی و کمترین عمق تدفین در چاه پازنان دیده می‌شود، که تاثیر عمدۀ‌ای بر تفاوت نوع هیدروکربن تولیدی از سنگ‌های منشأ در چاههای مختلف گذاشته است. روند افزایش میزان پختگی مواد آلی سازند ها با افزایش عمق در شکل ۱۰ نشان داده شده که حاصل میزان حرارتی است که مواد آلی را تحت تاثیر قرار داده است. در پازنان شمالی، سازند سرگلو بیشترین میزان هیدروکربن (۲۳ میلی گرم بر گرم سنگ) را تولید کرده و این میزان در سنگ‌های منشأ گرو، کژدمی و پابده به ترتیب ۸، ۱۰ و ۸ میلی گرم بر گرم سنگ است. در چاه پازنان جنوبی هیدروکربن‌زایی مشابه پازنان شمالی و مقداری کمتر است. در چاه پازنان، سازند پابده نفت‌زایی نکرده و سازند کژدمی تنها ۱ میلی گرم بر گرم سنگ هیدروکربن تولید کرده است. میزان هیدروکربن تولیدی در سازندها تا حد زیادی تحت تاثیر مقدار ماده آلی و میزان پختگی سنگ‌های منشأ است.

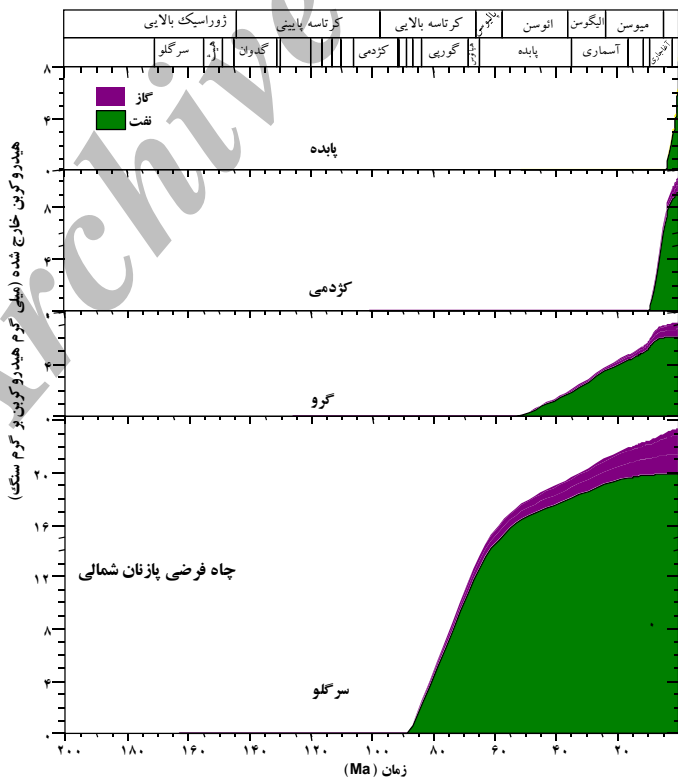
در این مطالعه تاریخچه خروج هیدرولوگرین از سنگ‌های منشأ بدست آمده است. این تاریخچه در چاه پازنان جنوبی (شکل ۷) نشان می‌دهد سازند سرگلو در کرتاسه بالایی شروع به نفت‌زاویی کرده است. در ابتدای نفت‌زاویی، عمدۀ هیدرولوگرین خارج شده از سنگ منشأ به شکل هیدرولوگرین مایع بوده اما در الیگوسن و میوسن، در صد بالایی از هیدرولوگرین تولیدی سنگ منشأ به شکل گاز بوده است. زمان نفت‌زاویی از سازندهای گرو و کژدمی به ترتیب ائوسن بالایی و میوسن بالایی است. سازند پابده هیدرولوگرین‌زاویی کمتری داشته و بعد از میوسن شروع به نفت‌زاویی کرده است. نمودارهای خروج هیدرولوگرین در چاه پازنان (شکل ۸) نشان می‌دهد نفت‌زاویی چاه پازنان کمتر از دو چاه دیگر بوده به گونه‌ای که سازندهای کژدمی و پابده مقادیر قابل توجهی هیدرولوگرین تولید نکرده‌اند و همچنین عمدۀ هیدرولوگرین تولیدی از سازندهای گرو و سرگلو در فاز هیدرولوگرین مایع است. میزان هیدرولوگرین‌زاویی در چاه پازنان شمالی، کمی بیشتر از چاه پازنان جنوبی است (شکل ۹). این نمودارها نشان می‌دهند فرایند نفت‌زاویی در ناوادس‌های مجاور بیشتر از تاقدیس بوده است.



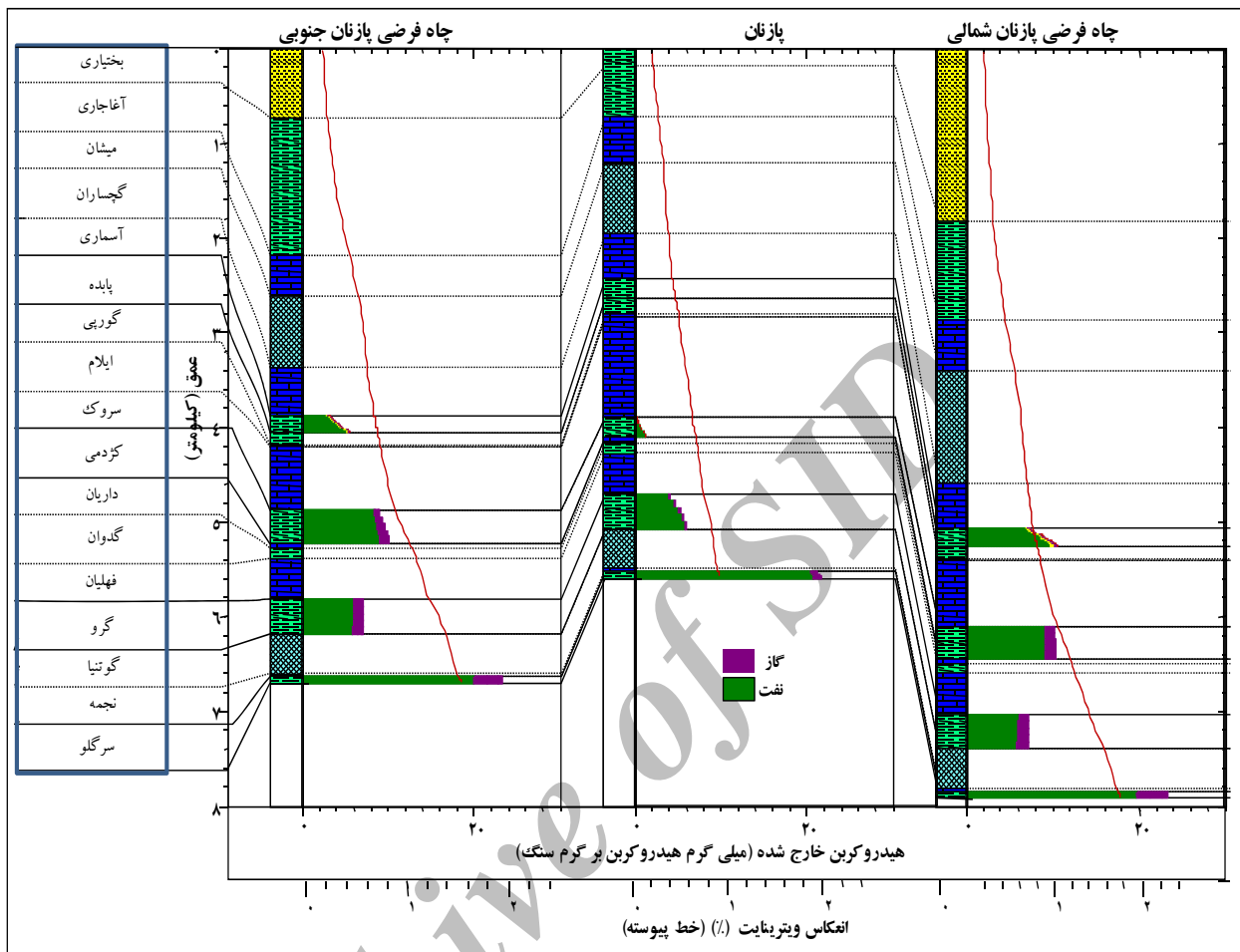
شکل ۷- نمودارهای خروج هیدروکربن از سنگهای منشأ در چاه پازنان جنوبی



شکل ۸ - نمودارهای خروج هیدروکربن از سنگ‌های منشأ در چاه بازنان



شکل ۹ - نمودار خروج هیدروکربن از سنگ‌های منشأ در چاه بازنان شمالی



شکل ۱۰ - سازندهای چاه‌های فرضی بازنان جنوبی، بازنان و بازنان شمالی همراه با نمودارهای هیدروکربن‌زاویی و میزان پختگی سازندها

سازند سرگلو در تاقدیس پیک نفت‌زاویی را طی کرده و در ناوادیس در پنجره گاز‌زاویی قرار دارد. در این مطالعه میزان هیدروکربن تولید شده بر اساس داده‌های ژئوشیمیایی برای هر گرم سنگ بدست آمده که نشان می‌دهد در ناوادیس‌ها میزان هیدروکربن تولیدی سنگ منشأ پابده و کژدمی بسیار بیشتر از تاقدیس‌ها است. در حالیکه در سنگ منشأ گرو و سرگلو تفاوت کمتری دیده می‌شود. میزان هیدروکربن

نتیجه‌گیری

نتایج بدست آمده در این مطالعه نشان می‌دهد، سنگ منشأ پابده در تاقدیس بازنان نفت‌زاویی نکرده در حالیکه در ناوادیس شمالی و جنوبی در نزدیکی پیک نفت‌زاویی قرار دارد. افزایش میزان پختگی از تاقدیس به سمت ناوادیس‌ها در سنگ‌های منشأ کژدمی، گرو و سرگلو نیز دیده می‌شود، که نشان دهنده افزایش میزان پختگی همراه عمق تدفین لایه‌ها است. به گونه‌ای که

- 6- Ashkan, S.A.M. and H. Amiri Bakhtiar, 2010, Geochemical study of Asmari and Khami reservoir gases and its correlation with source rocks in Pazanan field, south west of Iran: 14th Int'l. Oil, Gas and Petrochemical Congress.
- 7- Barker, C. 1996, Thermal modeling of petroleum generation: theory and application: Elsevier Developments in Petroleum Science v. 45, 512p.
- 8- Bordenave, M. L., and J. A. Hegre, 2010, Current distribution of oil and gas fields in the Zagros Fold Belt of Iran and contiguous offshore as the result of the petroleum systems. In: P. Leturmy, and C. Robin, (Eds.), Tectonic and Stratigraphic Evolution of Zagros and Makran during the Mesozoic–Cenozoic, Geological Society, London, Special Publications, v. 330, p.291-353.
- 9- Bordenave, M.L., 2008, The origin of the Permo-Triassic gas accumulations in the Iranian Zagros foldbelt and contiguous offshore areas: a review of the Paleozoic petroleum system: Jou. of Pet. Geol., v. 31, p.3-42.
- 10- Bordenave, M.L., and J.A. Hegre, 2005, The influence of tectonics on the entrapment of oil in the Dezful Embayment, Zagros fold belt, Iran: Jou. Of Pet. Geol., v. 28, p. 339-368.
- 11- Burwood R., 1978, Well Bangestan-1 source rock potential evaluation and characterisation, Oil Service Company of Iran, Technical Note, No. 2/1978.
- 12- Hantschel, T., and A. Kauerauf, 2009, Fundamentals of Basin and Petroleum Systems Modeling: Springer-Verlag, 425p.
- 13- Koop W.J., 1977, Basement depth map: Oil Service Company of Iran, Drawing No. 32661.

تولیدی از هر گرم سازند سرگلو بیش از مجموع هیدروکربن تولیدی از سنگ‌های منشأ پابده، کژدمی و گرو است.

نتایج بدست آمده در این مطالعه نشان می‌دهد وضعیت فرایند نفت‌زایی از سنگ‌های منشأ در تاقدیس پازنان در مقایسه با ناویدیس‌های شمالی و جنوبی تفاوت قابل توجهی دارد و لازم است این مسئله در تفسیر نتایج بدست آمده از مطالعات در نظر گرفته شود و تنها به مطالعه سنگ‌های منشأ در چاه‌های حفر شده در بالای تاقدیس‌ها اکتفا نشود.

منابع

- اشکان، س.ع.م.، ۱۳۸۳، اصول مطالعات ژئوشیمیایی سنگ‌های منشأ هیدروکربوری و نفت‌ها با نگرشی ویژه به حوضه رسوی زاگرس: روابط عمومی شرکت ملی نفت ایران، ص ۳۵۵.
- زینل‌زاده، ا.، م.ر. رضایی، م.ر. کمالی، ۱۳۸۳، نقش نهشته‌های الیگوسن و نؤژن در سیستم نفتی حاشیه شمال شرق فروافتادگی دزفول: مجله علوم دانشگاه تهران، جلد ۳۰، شماره ۲، ص ۲۴۷-۲۵۸.
- فکوری، ق. ع.، ۱۳۸۳، گزارش تکمیلی زمین شناسی چاه بی‌بی حکیمه ۱۲۰ (ناحیه دزفول جنوبی)، مدیریت اکتشاف و تولید.
- مطیعی، م.، ۱۳۷۴، زمین‌شناسی ایران، زمین‌شناسی نفت زاگرس، انتشارات سازمان زمین‌شناسی کشور، ۱۰۰۹ ص.
- Ala, M.A., R.R.F. Kinghorn, and M. Rahman, 1980, Organic geochemistry and source rock characteristics of the Zagros petroleum province, Southwest Iran: Jou. of Pet. Geo., v. 3, p. 61-89.

Prospectivity. In: O. Lacombe, J. Lave, F. Roure, and J. Verges, (Eds.), *Thrust Belts and Foreland Basins*, Springer, p. 1-17.

17- Sajadi F., 1976, well completion report Pazanan -17, Oil Service Company of Iran.

18- Stedudehnia A., and Perry J.T., 1966, Geological compilation map Bandar-E Deylam, Scale 1:100000, Iran oil Operation Company, Sheet No. 20841W.

14- Koop, W.J., and Orbell, 1977, Regional chronostratigraphic thickness and facies distribution maps of SW Iran Area (Permian and younger): Oil Service Company of Iran, Geological Report No. 1269 (Unpub).

15- Orbell, G., 1977, Geothermal gradient map: Oil Service Company of Iran, Drawing No. 327091.

16- Rudkiewicz, J.L., S. Sherkati, and J. Letouzey, 2007, Evolution of Maturity in Northern Fars and in the Izeh Zone (Iranian Zagros) and Link with Hydrocarbon